

中等专业学校交流讲义

鋼結構及其制造

吉林水利水电学院編

只限学校内部使用



中国工业出版社

本书是水利电力部教育司组织编导的中等专业学校教材之一，它由吉林水利水电学院动力教研室集体编写而成。

全书除绪论外共分六章。其特点是：紧密地结合了水力动力装置专业，适当地增添了与本专业有关的内容。书中着重地阐述了钢结构计算基础，各种连接方法，各种基本构件（梁、桁架、柱）的构造、设计、以及它们的制造方法。根据桁架设计的需要，书内还介绍了平面桁架内力的计算方法。

本书主要供给水力动力装置专业的教学使用，亦可供水工金属结构的设计和制造人员参考。

钢结构及其制造

吉林水利水电学院编

*

中国工业出版社出版（北京佟麟阁路丙10号）

（北京市书刊出版事业许可证出字第110号）

中国工业出版社第二印刷厂印刷

新华书店科技发行所发行·各地新华书店经售

*

开本787×1092¹/16·印张11⁵/₈·字数274,000

1961年8月北京第一版·1961年8月北京第一次印刷

印数001—633·定价(9-4)1.10元

统一书号：15165·614（水电-86）

目 录

| | |
|-------------------------------------|-----|
| 緒論 | 2 |
| 第一章 鋼結構的計算基礎 | 5 |
| §1-1 建築鋼的標號 | 5 |
| §1-2 軸心受拉杆件的強度計算..... | 7 |
| §1-3 受彎杆件的強度計算——對塑性 工作階段的考慮..... | 8 |
| §1-4 軸心受壓杆件的穩定性計算..... | 11 |
| §1-5 荷重及其荷重的組合..... | 13 |
| §1-6 鋼結構的計算方法..... | 14 |
| §1-7 建築型鋼..... | 18 |
| 第二章 鋼結構的連接方法 | 20 |
| §2-1 焊接..... | 20 |
| §2-2 鋼接和螺栓連接..... | 31 |
| 第三章 軋成梁及組成梁 | 47 |
| §3-1 梁的種類..... | 47 |
| §3-2 板梁的高度..... | 47 |
| §3-3 軋成梁的計算..... | 49 |
| §3-4 組成梁的構造與計算..... | 51 |
| §3-5 梁的支座部分..... | 76 |
| §3-6 梁的連接..... | 79 |
| 第四章 桁架 | 84 |
| §4-1 桁架的類型及其應用範圍..... | 84 |
| §4-2 桁架的外形及腹杆的布置形式..... | 85 |
| §4-3 桁架基本尺寸的確定..... | 86 |
| §4-4 桁架的穩定及其支撐..... | 88 |
| §4-5 桁架的荷載及內力的計算..... | 89 |
| §4-6 桁架受壓杆件的自由長度..... | 96 |
| §4-7 壓杆及拉杆的極限長細比..... | 97 |
| §4-8 輕型桁架截面型式..... | 98 |
| §4-9 輕型桁架截面的選擇..... | 99 |
| §4-10 輕型桁架的節點構造與計算..... | 104 |
| §4-11 桁架的繪圖..... | 112 |
| 第五章 實體柱與格构柱 | 114 |
| §5-1 柱的型式及其應用的範圍..... | 114 |
| §5-2 柱的計算長度..... | 116 |
| §5-3 實體柱截面選擇..... | 116 |
| §5-4 格构柱的穩定性計算..... | 119 |
| §5-5 軸心受壓格构柱的截面選擇..... | 120 |
| §5-6 繼條及綴板的構造與計算..... | 121 |
| §5-7 柱的底腳..... | 126 |
| §5-8 柱頭及梁與柱的連接..... | 134 |
| 第六章 鋼結構製造 | 137 |
| §6-1 鋼結構工廠的分類..... | 137 |
| §6-2 鋼結構工廠的組成..... | 137 |
| §6-3 鋼結構工廠的工藝過程..... | 139 |
| §6-4 鋼材準備車間..... | 139 |
| §6-5 放樣間..... | 141 |
| §6-6 加工車間..... | 143 |
| §6-7 裝配車間..... | 151 |
| §6-8 整裝配車間..... | 164 |
| §6-9 油漆、裝運車間..... | 166 |
| 附錄 | 169 |

緒論

一、“鋼結構及其製造”課程內容介紹

鋼結構在工业及民用建筑，桥梁及水工金属结构等方面有着极其广泛的应用。如工业及民用建筑中的厂房及高楼的骨架、塔架和储液库；桥梁建筑中用于公路及铁路的各种型式的钢桥；水工建筑中用于水力枢纽、船闸及闸墙上的各种型式的钢闸门，水电站厂房，压力钢管，拦污栅，以及提升钢闸门所用的各种起门机械（如门式起重机）等。

钢结构是由下列基本构件：梁、桁架、柱、薄壳等所组成，亦即由最坚固最匀质的材料——钢制成的杆件和钢板所组成。这些杆件及钢板经过加工制造互相间用焊接、铆接或螺栓连接成为整体的结构（如钢闸门等），以适应建筑物的要求。

因此，本课程的安排顺序是：钢结构计算基础；各种连接方法；各种基本构件（梁、桁架、柱）；根据桁架设计的需要，本课程还将讲解平面桁架内力的计算方法；最后叙述钢结构的制造。

二、钢结构的发展简史

钢结构的发展是与人类活动的历史分不开的。大约在殷代中叶，公元前十四至十二世纪，我们的祖先便渐渐地结束了穴居生活，开始经营地面的建筑。中国是世界上使用金属结构最古老的国家。远在秦始皇时（公元前246~210年），就已经用铁做简单的承重结构，而西方国家在十七世纪才开始使用金属的承重结构。以后，在公元605年，我们祖先就智慧地用铁链系舟造成了浮桥。到了宋代（公元906年~1279年）出现了铁柱桥。公元七世纪时，开始使用铁索悬桥。

我国金属结构虽然用得很早，但由于过去长时期的封建统治和近百年来帝国主义列强的入侵与掠夺，使得我国的冶金工业和其它国民经济部门一样得不到发展；特别是在国民党反动派统治时期，工农业生产所遭到的破坏尤为严重，故在1949年建国时，全国的钢产量只有15.8万吨。由于冶金工业的落后，这就使得我国的金属结构事业也和其它事业一样，不可能得到发展。

中华人民共和国的成立，标志着帝国主义、封建主义和官僚资本主义在中国统治的结束。中国人民解放后，在中国共产党和毛主席的正确领导下，在短短的三年内（1950~1952年）就使国民经济得到恢复，1952年钢的年产量由建国时的15.8万吨增加到135万吨，而1960年，我国钢产量已达1,845万吨，跃居世界第六位。

与钢铁工业相适应的，我国的钢结构事业和建桥技术也得到了空前的发展。

长江是亚洲的第一条大河，它使横穿南北的京汉铁路和粤汉铁路不能衔接。唐代诗人李白说过：“白浪如山那可渡，狂风怒浪拍岸人”。可是在1957年10月15日，长江大桥正式通车了，狂风巨浪再也挡不住运输车辆的南来北往。

武汉长江大桥是我国第一个五年计划的重点建设工程之一，它不仅规模宏大，而且技术复杂。这一伟大工程是在苏联专家的帮助下，由中国工程师和工人设计、制造和施工的。这说明我国钢结构事业和建桥技术的飞跃发展，在短短的几年内就取得了惊人的成绩。

随着我国工农业生产的迅速发展，我国的水利水电事业也取得了辉煌的成就。其中水工鋼閘門方面的发展无论是数量上，尺寸上还是設計、制造和安装技术上都远远地超过了解放以前。解放后我国修建的成千上万項水利水电工程中，采用了很多不同形式、不同尺寸的水工金属結構物。今后在宏偉的社会主义和共产主义建設中，还会有更大規模的水库和水电站建筑。这些建筑无疑的会应用大量的鋼結構，并推动着水工金属結構快速地向前发展。

三、对鋼結構的要求

对鋼結構如同对其他种类的結構一样，有下列主要要求：

- 1.結構要有足够的强度，保証安全，其变形应在允許的范围内。
 - 2.所設計的鋼結構必須滿足結構本身的功能及使用上的要求，并須有耐久性。
 - 3.要千方百計地节约鋼材用量。其具体措施如下：1)采用新的合理的設計方法——按极限状态的計算方法；2)严格遵守节约鋼材的指示；3)正确地規定安全系数；4)要有合理的結構型式，正确地规划其結構物的布置及其細部；5)广泛地采用焊接；6)加强鋼結構的檢查及維护，如周期性的油漆等；7)在比較严重的侵蝕性环境下，尽量不采用鋼結構。
 - 4.安装架設方便迅速，以縮短工期（如起重能力在可能的条件下，使最重的部件的重量等于最大起重量）。
 - 5.结构要便于制造，以有利于生产效率的提高(省工省时)，并便于运输。
 - 6.要求美观；在首先滿足經濟适用的条件下，要求结构的外形尽量美观。
- 为了达到上述要求，其具体的措施是：1)制造与架設的工业化；2)电焊特別是自动电焊的广泛采用；3)鋼結構物及其构件的規格化，标准化及統一化；4)广泛地采用实腹结构，便于自动电焊，但并不降低其良好的重量指标；5)拼接与架設連接的簡化；6)支撑系的发展，增加其稳定性和增加結構空間勁度的剛性系統。
- 这几项措施对滿足上述要求和降低造价來說都是最有效、最进步、又最有发展前途的。特別是构件的标准化，最符合生产制造及装配的要求，能促进制造与架設的工业化，节省鋼材，降低生产成本，提高生产效率。例如在同一結構中，应尽可能地采用同一种直徑的鉚釘，在同一个建筑物中，鉚釘直徑最好不多于两种或三种。

四、鋼結構的优点(与其它結構的相对比較)

1.优点：

(1)鋼結構是最可靠的結構：由于鋼本身結晶构造的均匀性，并有很大的彈性模量，符合各向同性物体的概念，而这种概念正是我們的計算基础。因此，鋼結構可以得到准确的計算。因而鋼結構是最安全最可靠的結構，很多重要的結構物都采用鋼結構。

(2)鋼結構是最輕的結構：鋼材具有很高的机械性能，在鋼結構中可以承受很高的应力，尺寸也相应地較小，因而鋼結構与其它各种建筑結構相比較是最輕的結構，从而便于运输及架設。

(3)鋼結構是工业化程度最高的結構，因为鋼材的机械性能很高，制造是在近代技术基础上，在设备完善、生产率很高的特种工厂中进行的。

(4)鋼結構在架設时是最容易装配的結構：架設时运送单元和架設单元可以用有相当研究和实践了的螺栓，鉚釘和焊縫連接起来。

(5) 鋼結構及其构件可以更換。

(6) 鋼結構在制造及架設时最为簡便，可以进行快速流水作业。

(7) 鋼結構能使我們最好地利用建筑容积（因为柱的截面最小，建筑高度最小，梁的高度最小）。能建造高度最高及跨度最大的建筑物及結構。

(8) 鋼結構可以做成封閉不漏水、不透气的結構。

2. 缺点：

(1) 鋼結構很容易锈蝕，而逐漸地丧失承载能力。鋼的锈蝕是一种复杂的电化学过程，能在不同的情况下按不同的次序发生，但一定要有电位差。能在带电的水蒸气、液体及气体中发生。如在鋼上有一层灰层及其他吸附水分的復盖物，它們便能促使锈蝕的发展。鋼锈或氯氧化合物是锈蝕的最后产物之一，它具有海綿状的結構物易于吸收水分。因此不能作为防止锈蝕的保护层，相反的，锈蝕的存在正促进了锈蝕作用的急剧发展。对鋼鐵最有害的是各种硫化物、氯化物及硝酸的淡溶液。鋼的锈蝕在最不利的条件下发展是非常快的。

由此可見，锈蝕是鋼結構的一个缺点，特別是对水工鋼結構，需要严格地加以保护以防止鋼的锈蝕。

防止锈蝕的办法是加保护层，如漆油、涂料或电鍍，应用不銹鋼，采用特种的結構型式，使結構物沒有縫隙凹槽等。因为这些地方最易因藏垢存水而锈蝕，經常的清扫，檢查和定期油漆等都是防止锈蝕的好办法。这样一来，鋼結構的养护費用就要比其它結構貴的多，經常与水接触的水工鋼結構如閘門等，更應該注意油漆防锈問題。在水位漲落頻繁并有漂浮物的水庫或河道中，鋼閘門的油漆除了必須用紅丹涂第一道外，还必須采用防水的油漆涂第二道。如果缺乏这种防水的油漆，也可以在紅丹外加涂柏油。柏油对于水及酸的抗力都很强。

(2) 鋼結構所用的材料(鋼)产量有限，而鋼是国家一切經濟建設和国防建設的重要材料之一，所以只在不能以其它材料代替鋼的时候才能采用鋼的結構。

(3) 鋼結構由于成本高而限制了它的使用。并且在发生火灾时不能耐久，因此需要有保护层，但对水工鋼結構这一点并不严重。

第一章 鋼結構的計算基礎

§1-1 建築鋼的標號

鋼料的生產，鋼的成分、結晶構造及其性能，在金屬工藝學中均有較詳細的講述，故本書從略。這裡只對建築鋼的標號予以說明，並簡單地介紹各標號的應用範圍，同時要結合專業來說明水工鋼結構（閘門和鋼管等）常用的鋼材標號。

製造鋼結構最常用的是熱軋碳素鋼，一般稱它為建築鋼。有時在結構中還會用到鑄鋼、鍛鋼及生鐵。所謂鑄鋼乃是將煉好的鋼直接鑄成各種結構零件（如支座等），如果再將某些鑄成的零件（如鉸、輥軸等）經過熱處理即成鍛鋼。

普通熱軋碳素鋼按照供應時所保證的性質特性分為A、B兩類。A類是按鋼的機械性能來分類，而B類則是按照化學成分來分類。

蘇聯出品的建築鋼的標號按A類分，可分為：Cr.0, Cr.2, Cr.3, Cr.4, Cr.5等標號，標號較大者，含碳量較多，強度較高。

目前，蘇聯所用的低合金鋼（高級建築鋼）有兩種標號：HЛ1及HЛ2。表1-1即為蘇聯各種標號建築鋼的規格。

表1-1 蘇聯建築鋼的規格

| 標 號 | 機 械 性 能 | | | | 化 學 成 分 | | | 制 造 方 法 |
|--------|---|--|---------------------------|-------------------------------------|------------------------|----------------|---------------|------------------|
| | 強度極限 $\sigma_{n\mu}$ 公斤/毫米 ² | 屈服極限 σ_f 公斤/毫米 ² | 伸長率 ε % | 衝擊韌性 a 公斤·米/厘米 ² | 碳 % | 硫 % | 磷 % | |
| | 公斤/毫米 ² | 不 | 小 | 于 | % | 不 | 大 | 于 |
| Cr.0 | 32~47 | 19 | 18 | — | ≤0.23 ≤0.14 | 0.06 0.07 | 0.07 0.09 | 馬丁法 柏塞麥法 |
| Cr.2 | 34~42 | 22 | 26 | — | 0.09~0.15 | 0.055 | 0.05 | 馬丁法 |
| Cr.3 | 38~47 | 24 | 21 | 8① 10② | 0.14~0.22 <0.12 | 0.055 0.065 | 0.05 0.085 | 馬丁法 柏塞麥法 |
| Cr.4 | 42~52 | 26 | 19 | — | 0.18~0.27 0.12~0.20 | 0.055 0.065 | 0.05 0.085 | 馬丁法 柏塞麥法 |
| Cr.5 | 50~62 | 28 | 15 | — | 0.28~0.37 0.17~0.30 | 0.055 0.065 | 0.05 0.085 | 馬丁法 柏塞麥法 |
| HЛ1 | ≥42 | 30 | 20 | 8 | ≤0.15 | 0.045 | 0.04 | 馬丁法 |
| HЛ2 | 48~63 | 34 | 18 | 6 | 0.12~0.18 | 0.045 | 0.04 | 馬丁法 |

①適用於鋼板。②適用於型鋼。

我國出品的建築鋼的標號按A類分，有與蘇聯標號相對應的標號：尤₀, 尤₂, 尤₃, 尤₄, 尤₅, 等。表1-2為我國各種標號建築鋼的規格。

鋼結構中應用的黑色鑄造金屬可分為：1) 碳素鑄鋼；2) 灰鑄鐵；3) 鑄鐵板（不成錠的鑄鐵塊）。

一般鋼結構所用的碳素鑄鋼，有以下三種標號：15-40 20, 35-50 15和25-45 22。

鑄鋼的標號，由三組數字組成：第一組數字(15, 35, 25)表示平均含碳量的百分數(即0.15%, 0.35%, 0.25%); 第二組數字(40, 50, 45)表示拉力強度極限，單位為公

表 1-2 我国建筑钢的规格(摘自1954建筑工程部钢结构设计规范试行草案)

| 钢 名 号 | 钢 号 | 拉力极限强度 公斤/毫米 ² | 延 伸 率 % | | 屈服极限 公斤/毫米 ² | 元素含量极限 % | | | 制造方法 |
|-------------|----------|------------------------------|------------------------|---------------------|----------------------------|------------------------|----------------|----------------|------------|
| | | | 长 試 样 δ_{10} | 短 試 样 δ_5 | | 碳 | 硫 | 磷 | |
| | | | 不 得 小 于 | | | 不 得 超 过 | | | |
| 普通热轧碳素钢 | 尤0 | 32~47 | 18 | 22 | 19 | 0.23以内 0.14以内 | 0.060 0.070 | 0.070 0.090 | 平炉 酸性转炉 |
| | 尤2 | 34~42 | 26 | 31 | 22 | 0.05~0.19 | 0.055 | 0.050 | 平炉 |
| | 尤3 | 38~47 | 23~21 | 27~25 | 24 | 0.14~0.22 0.12以内 | 0.055 0.065 | 0.050 0.085 | 平炉 酸性转炉 |
| | 尤4 | 42~52 | 21~19 | 25~23 | 26 | 0.18~0.27 0.12~0.20 | 0.055 0.065 | 0.050 0.085 | 平炉 酸性转炉 |
| | 尤5 | 50~62 | 17~15 | 21~19 | 28 | 0.28~0.37 0.17~0.30 | 0.055 0.065 | 0.050 0.085 | 平炉 酸性转炉 |
| | 鉚釘用热轧碳素钢 | 尤2 | 34~42 | 26 | | | 0.050 | 0.050 | 平炉 |
| | 尤3 | 38~47 | 22 | | | | 0.050 | 0.050 | 平炉 |

表 1-3 各种标号的钢或铸铁的应用范围

| | 钢 或 铸 铁 的 应 用 范 围 | 所 用 标 号 | |
|---|---|---|----------------------|
| | | 主 要 的 | 许 可 的 |
| 1 | 工业与民用建筑及结构物的钢结构(除下述2、3两种用途以外) | Cт.3 НЛ1 НЛ2 | Ст.0 Ст.4 Ст.5 |
| 2 | 钢板结构(薄壁容器, 管道等) | Ст.2 Ст.3 НЛ1 | Ст.0 |
| 3 | 用鍛成钢管作承重结构 | Ст.2 Ст.4 | — |
| 4 | 铁路与公路桥梁的桥跨结构 | Ст.3 НЛ1 НЛ2 | — |
| 5 | 重要鍛件 | Ст.5 Ст.3 | Ст.4 Ст.0 |
| 6 | 结构之轴心受力构件(柱, 支座, 矿井短管, 拱与拱冠的构件)及建筑零件(栅栏, 門, 格条, 柱头, 存雕等)。 | 鑄 铁 СЧ12-28 СЧ15-32 СЧ18-36 СЧ21-40 СЧ24-44 СЧ28-48 | |
| 7 | 工业与民用建筑结构的支承部分 | 鑄 鋼 15-4020 25-5015 | |
| 8 | 铁路公路的支承部分 | 25-4522 | |

- 注: 1. Ст.0不是标准的, 按其本质来说是Ст.3的废品, 只能用于第一项所指钢结构中可不必计算的构件。
 2. Ст.2有较大的伸长率, 冶炼较难, 也较贵, 只用于要求具有韧性受拉的地方, 如钢板结构及其鉚钉。
 3. НЛ1与НЛ2为低合金钢(高级建筑钢), 可用于各种荷重的鉚接重型结构中, 但对于焊接结构只能用于不直接承受动荷重的焊接轻型结构中(如屋頂及柱的构件), 而且焊接的构件厚度不超过30毫米。
 4. 标号Ст.0, Ст.2, Ст.3, Ст.4, НЛ1, НЛ2等钢用于焊接桥梁与桥式吊车时, 应做可焊性试验。
 5. 在有特殊必要时НЛ1与НЛ2可用Ст.5来代替, 但只能代替鉚接结构。

斤/毫米²；第三組数字(20, 15, 22)表示对标距为5d試件的伸长率，以百分数計。

一般鋼結構所用的灰鑄鐵，其标号有五种：СЧ-12-28, СЧ-15-32, СЧ-21-40, СЧ-24-44和СЧ-28-48。

灰鑄鐵的标号也是由三个部分組成：前面的俄文字母是灰鑄鐵的代号，第一組数字(12, 15……)是受拉力时的最小强度极限，单位为公斤/毫米²；后面的一組数字(28, 32, ……)是受撓曲时的最小强度极限，单位为公斤/毫米²。

鑄鐵制件的优点是价格低廉，抗腐蝕能力較好；其缺点是鑄鐵制件比鋼制件重，有少許变形就会发生裂縫，脆，有断裂的危險。

为保証建筑鋼有足够的韌性，含碳量不能太大，按規范規定不得大于0.3%。在普通建筑鋼中，含碳量在0.09%—0.22%之間。对影响鋼变脆的有害杂质磷(P)和硫(S)也有限制，按規定磷的含量一般小于0.05%，硫的含量一般小于0.055%。

我国常用的建筑鋼为尤₂和尤₃，最常用的还是尤₃。

在水工鋼結構中，目前，鋼閘門用的主要材料是普通质量热軋碳素馬丁鋼 CT.3 其强度极限为38公斤/毫米²，屈服极限不低于23公斤/毫米²，长試样的相对伸长率不小于21%，鋼的含碳量为0.12~0.22%。滿足要求的CT.3桥梁鋼也可应用。如果有特殊論據时，也准許用标号为НЛ2和其他低合金鋼。用之于压力鋼管的外壳和鋼管外面需要計算的全部构件的鋼，其标号均为Ст.3的脫氧熔炼的馬丁鋼。机械零件和支撑零件用 Ст.3, Ст.4, Ст.5；鉚釘用 Ст.2, Ст.3，但在用НЛ2的鋼結構設計中鉚釘应采用 НЛ1。水工鋼結構中鑄鋼制件所用的鑄鋼标号与一般鋼結構中所用者不尽相同，其标号为15-40 22, 15-40 28和35-50 15。用这几种标号的碳素鑄鋼制成的鑄件，在鑄成后須进行燭火处理。

据苏联标准，制造水工金属結構中的閘門和其他結構的最好材料，是桥梁制造业中的热軋碳素鋼：焊接閘門用M16C号鋼，鉚接用Ст.3_{мост}号鋼。但是这种鋼最貴，因此，只有在必要的情况下，才用它来制造运用条件极坏的結構。

§1-2 軸心受拉杆件的强度計算

当杆件受轴向力作用时，截面上的应力是假定平均分布的。但在截面改变处，如孔缺、裂縫以及其他不平整的地方，应力分布的均匀性就被破坏了：在靠近孔缺的点上形成应力高峰，而在另一些点上应力减低，这种应力不均匀的現象称为应力集中。这些点的实际应力与平均应力(基本应力)之差称为局部超应力。

图1-1所示为一块具有圓孔的钢板，两端受轴向拉力N的作用时，在彈性范围內的应力分布情形；靠近孔边是主应力綫拥挤和弯曲利害的地方，应力提高也愈大。最大高峰应力較平均应力一般可大2~3倍。

在靜載作用下，当高峰应力达到屈服极限时，邻近应力較低的点能阻止应力高峰点的塑性变形，使高峰应力保持在屈服极限上，而截面其他各点的应力还可繼續增长而赶上停止增长的高峰应力。如鋼的屈服期較大，则截面上的应力漸趋平均，直到全部截面的应力达到屈服极限为止。

由于鋼料具有这种塑性工作的优越性能，所以在計算軸心受拉杆件时可采取淨截面上的平均应力，不考虑应力集中的影响。

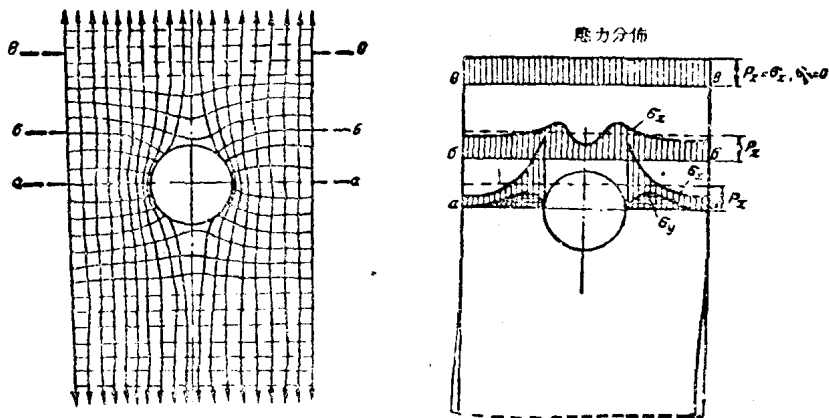


图 1-1 靠近圆孔处的主应力线图及应力分布图

但由于靠近应力高峰处塑性变形的发展被阻止，因而促使钢料转入脆性状态，这种情形在一般计算中不考虑，因一般应力集中的范围甚小，影响不大。但在当杆件的截面形状有突然变化时，例如，当杆件的截面有尖锐的缺口或横向裂纹时，则高峰应力特别大，常导致脆性断裂的可能，因此在构件上应避免截面形状有突然的变化。

图 1-2 所示为一铆接杆件的节点连接，其所受的轴心拉力为 N ，在验算强度时应考虑受力最大的断面 1-1 及减损最多的断面 2-2，验算拉杆的强度可用下式：

$$\sigma = \frac{N}{F_{nT}} \leq [\sigma]; \quad (1-1)$$

式中 F_{nT} —— 拉杆的净截面积；

$[\sigma]$ —— 钢料的许用应力。

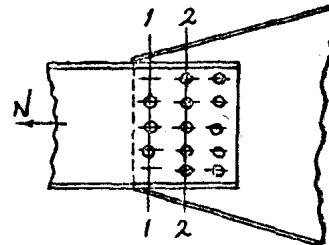


图 1-2 杆件受力最大的断面 1-1，杆件减损最大的断面 2-2

§1-3 受弯杆件的强度计算——对塑性工作阶段的考虑

钢杆件在受弯时的屈服极限和受轴向力时的屈服极限差别很小，通常都视作相等。

当受弯的钢杆件截面边缘纤维达到屈服极限时，并不表示承载能力的消失，因为邻近应力较小的纤维仍能受力，故荷重和弯矩仍能增加。若假定为理想塑性物体，则当截面上全部纤维的应力都达到屈服极限时，承载能力才消失。

这时弯曲应力图为两个矩形（图 1-3a），其极限弯矩显然等于：

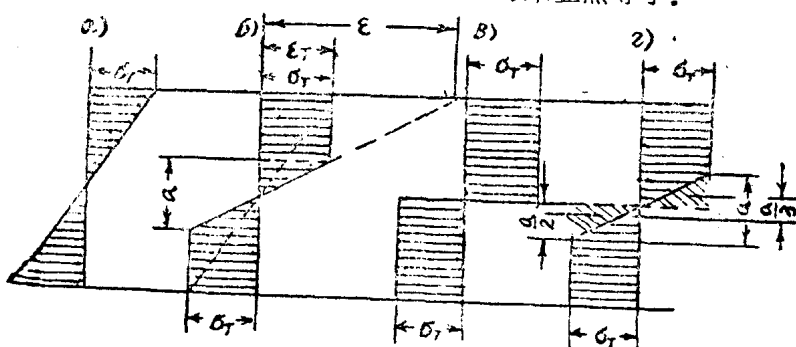


图 1-3 弯曲应力图

$$M_{np} = \sigma_r \int y dF = \sigma_r (S_1 + S_2); \quad (1-2)$$

式中 $S_1 + S_2$ —— 上部截面与下部截面对中和轴静矩之和。

当截面上全部纤维都处于屈服极限阶段时，应力不增加而纤维长度可以改变，因此受弯杆件可绕该截面的中和轴旋转，称这种情况为塑性铰。塑性铰与普通铰的区别是：在普通铰中弯矩为零，而在塑性铰中作用着弯矩 M_{np} ；此外塑性铰只能在极限力矩的作用方向转动，当方向相反时使应力减小，部分纤维又重新变为弹性，塑性铰即被封闭。

为了得知当按塑性工作计算究竟比一般按弹性工作计算增大多少，从而进一步地明确承载能力，试比较两种极限弯矩：

$$M_{np} = \sigma_r (S_1 + S_2) \text{ 与 } M = \sigma_r W,$$

由此可见， $S_1 + S_2$ 的作用相当于截面抵抗矩 W ，因此称 $S_1 + S_2$ 为塑性抵抗矩，并以 W_{nA} 来表示，即：

$$W_{nA} = S_1 + S_2;$$

当对称截面时： $W_{nA} = 2S$ ；

当矩形截面时： $W_{nA} = \frac{bh^3}{4}$ ，

$$W = \frac{bh^3}{6};$$

故

$$\frac{W_{nA}}{W} = \frac{bh^3/4}{bh^3/6} = 1.5.$$

对工字形截面： $\frac{W_{nA}}{W} = \frac{2S}{W} = 1.17$ (平均值)。

剪应力的存在，大大地加速了塑性变形的伸展，此时塑流现象（屈服现象）不是当法向应力达到屈服极限时发生的，而是当折算应力（化算应力或比较应力） $\sigma_{np} = \sqrt{\sigma^2 + 3\tau^2}$ 达到屈服极限时就开始出现塑流了。因此当最外边纤维应力 $\sigma = \sigma_r$ 时，截面中的折算应力将大于法向应力，故三角形的法向应力图被凸弧形的折算应力图所代替（图1-4）。图中在中和轴处的应力为 $\tau \sqrt{3}$ 。显然在截面内各点折算应力比法向应力早达屈服极限 σ_r 。当有较大剪应力时塑流可以在中和轴附近出现，并迅速地传播于整个截面。在工字截面中塑流可能在腹板和翼缘连接处最先发生（图1-5）。

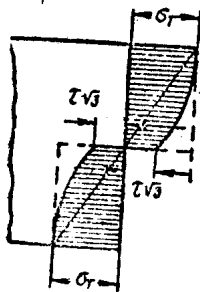


图 1-4 存在剪应力时的折算应力图

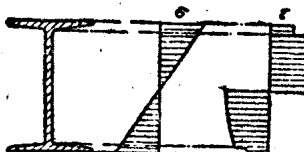


图 1-5 工字形的弯应力及剪应力图

当折算应力达到屈服极限 ($\sigma_{np} = \sqrt{\sigma^2 + 3\tau^2} = \sigma_r$)， σ 和 τ 的变化只能彼此相反，即 σ 增加时 τ 应减小，或反之。显然，当荷重增加使截面绕中和轴转动增加时，所增加的

应力是 σ , 則在 $\sigma_{np} = \sigma_T$ 的区域内 τ 应减小, 但因荷重增加时, τ 也随之增加, 故所减小的 τ 应在截面的弹性区域内得到补偿, 以求平衡(图1-6)。因此在截面中間部分 τ 剧烈增加, 也很快地增加了該区域内的折算应力, 使达屈服极限, 而伸展塑性。

由于 W_{np} 和 W 相差很大, 故考虑梁的塑性变形将能得到很大的經濟效果, 但采用这样的計算在苏联的设计规范上有很多限制:

1) 仅当剪应力很小时(即当弯矩最大处的剪应力 $\tau \leq 1.4[\sigma]$ 时)才考虑塑性变形。

2) 梁需固接, 保証有足够的稳定性, 因当翼緣达到塑流后, 偶然有較小的側向力作用, 稳定性就成問題。

3) 仅适用于轧成梁及等截面的焊成梁。对轧成梁, 若以主要荷重計算能保証总稳定性时, 則应考虑由塑性变形之影响, 将截面矩增大15%。对于跨度相同或不同而差別不大于20%的等截面連續梁(轧成或焊成), 以主要荷重計算能保証其稳定性时, 得考虑由于塑性变形的影响, 其撓矩可按跨度相同的簡支梁因相同荷重而生之最大撓矩的 $2/3$ 計算。在此情况下, 焊接梁之翼緣板每层厚度不得小于其寬度的 $1/20$, 并应以連續焊接联接于腹板。降低計算撓矩与增加截面抗矩不可同时进行。

对鉚接梁塑性鉸的出現問題尚不十分清楚, 对变断面梁塑性鉸出現的位置很难确定, 故对此种梁不考虑塑性变形的影响。

4) 只适用受靜載作用, 因在动載作用下塑性来不及发展。

受靜荷重的連續型鋼梁(限制条件相同, 且跨度大致相同, 彼此相差不及20%时), 可以考虑塑性来計算。因为連續梁是靜不定体系, 只有它的靜力連系出現数个塑性鉸之后才可能破坏。

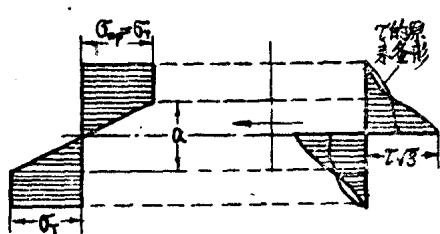


图 1-6 梁截面上塑性扩展时剪应力图的变化

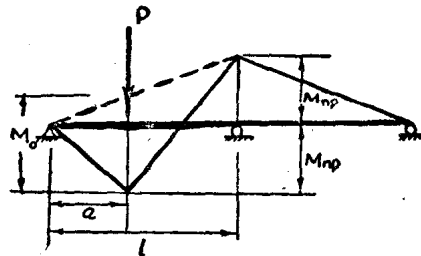


图 1-7 考虑塑性变形时連續梁的計算

图1-7是等截面三跨連續梁, 端跨上作用荷重 P , 并将 P 放置得能使力矩图在跨內的坐标为最大。梁在此坐标截面处的断面中, 力矩最先达到极限力矩(M_{np}), 且停止发展, 在此断面出現塑性鉸。这时整个体系并不因此而失去承载能力, 当荷重继续增加, 在第一支座上的负力矩达到极限力矩 M_{np} , 即在該断面也出現了塑性鉸, 这时体系变成了几何可变体系(破坏)。

力矩图中表示得很清楚, 在出現第二个塑性鉸之后, 极限力矩和簡支梁跨中弯矩的关系如下:

$$M_{np} = M_0 - M_{np} \frac{a}{L}.$$

若 $a = \frac{L}{2}$ 时(这是最常有的情况), 則:

$$M_{np} = M_0 - \frac{1}{2} M_{np},$$

或 $\frac{3}{2} M_{np} = M_0, \quad M_{np} = \frac{2}{3} M_0;$

式中 a ——由跨内的塑性铰到零力矩支座的距离；

M_0 ——简支梁跨中弯矩。

§1-4 轴心受压杆件的稳定性计算

轴心受压杆件强度的验算和轴心受拉杆件相同：

$$\sigma = \frac{N}{F_{st}} \leq [\sigma]. \quad (1-3)$$

对于细而长的轴心受压杆件仅仅验算其强度是不够的，而更重要的是必须验算它的稳定性。因为很多的压杆破坏的经验和试验结果证明：细长的杆件在轴心压力作用下，往往在应力未达到屈服极限之前，就会失去原来直线稳定状态，而发生纵向弯曲，导致杆件的稳定性破坏。

一体系受任何外力作用，当外力去除后，这体系能恢复原来位置，体系的这种状态称之为稳定状态。

细而长的轴心受压杆件有两种稳定状态：1) 直线稳定——杆轴保持直线时，2) 曲线稳定——杆轴为曲线时。

直线形的轴心压杆如偶然受到小的侧向力作用，压杆即行弯曲，当轴心压力小于一定值时，则将外力去除后，压杆即能恢复原来的直线状态，即压杆能保持直线稳定。但当轴心压力超过这一定值时，则侧向力去除后不能恢复原状，而变形继续增加直至破坏。这一定值的压力即称为临界压力(N_{kp})。临界压力 N_{kp} 的计算，可用欧拉公式：

$$N_{kp} = \frac{\pi^2 E J}{l_0^2}; \quad (1-4)$$

式中， l_0 为压杆的自由长度(或称曲折长度，或计算长度)，它根据压杆两端的支承情形而定(图1-8)。一般自由长度 l_0 均以压杆的实际长度 l 乘以长度系数 μ 即 $l_0 = \mu \cdot l$ (l_0 普通也可看做压杆弯曲线上弯矩为零的转折点间的距离)。

由上式即可求得临界应力 σ_{kp} 。

$$\sigma_{kp} = \frac{N_{kp}}{F} = \frac{\pi^2 E}{\lambda^2}. \quad (1-5)$$

式中， λ 为压杆的长细比。为压杆的自由长度 l_0 与截面的回转半径 r 之比，即：

$$\lambda = \frac{l_0}{r}.$$

欧拉公式是根据材料为完全弹性体，并服从虎克定律的弹性理论得出来的，因此只适用于临界应力不超过比例极限($\sigma_{kp} \leq \sigma_n$)的情况。普通建筑钢 $\sigma_n = 2000$ 公斤/厘米²，此

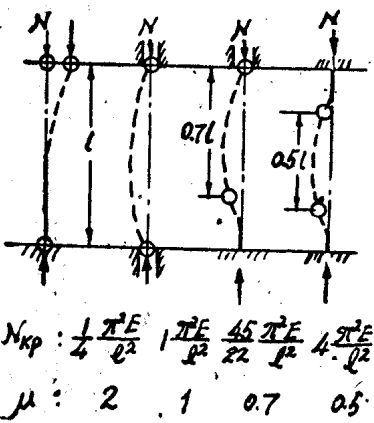


图 1-8 四种不同的支承情况下压杆的临界压力 N_{kp} 和自由长度 l_0 的系数 μ

值代入上式即得：

$$\lambda = \sqrt{\frac{\pi^2 \times 2.1 \times 10^6}{2000}} \approx 100. \quad (1-6)$$

这就是說：欧拉公式只有在 $\lambda > 100$ 时才能应用。对于高級建筑鋼 $\sigma_n = 3000$ 公斤/厘米²，則 $\lambda > 85$ 时才能应用，故有时称欧拉公式为长柱公式。

当 $\lambda < 100$ (或 $\lambda < 35$)时，即当压杆具有中等或較小的长細比时，其稳定性丧失的临界应力已超过了彈性限度而进入塑性阶段。这时彈性模量 E 不再保持常数，因此，欧拉公式已不适用。关于这种具有中等或較小长細比的压杆的临界应力的計算有很多經驗公式，而在鋼結構方面比較适用的是与欧拉公式相似的恩格塞尔(Энгесел)公式：

$$\sigma_{kp} = \frac{\pi^2 T}{\lambda^2}; \quad (1-7)$$

式中 T ——纵向折曲的化引模量(或纵向曲折模量)，可用公式表示如下：

$$T = \frac{EJ_1 + E_{pl}J_2}{J}; \quad (1-8)$$

式中 J_1 和 J_2 ——杆件截面受压与受拉两部分对中和軸的慣性矩；

E_{pl} ——塑性变形模量，是变化的。

对于 T 值的研究是和苏联雅辛斯基教授等分不开的，故又称 T 为雅辛斯基-恩格塞尔-卡尔曼模量。图1-9所示为 T 值与长細比 λ 的关系曲线。

上述的压杆稳定性理論(欧拉公式及恩格塞尔公式)与許多压杆的試驗結果很相符合(图1-9)，因此这两个公式具有很宝贵的实用价值。从图中所示的 $\sigma_{kp} - \lambda$ 曲綫可以看出下述結論：

1) 当 $\lambda > 100$ 时，根据欧拉公式計算出的 σ_{kp} 仅与 λ 有关，而与 σ_T 无关。

2) 当 $\lambda < 100$ 时，据恩格塞尔公式計算出的 σ_{kp} 不但与 λ 有关，而且和 σ_T 有密切的关系。

3) 不論 λ 之值如何，压杆稳定性破坏的 σ_{kp} 总低于 σ_T ，因此在計算压杆稳定性时，必須降低它的許用应力，即：

$$\frac{N}{F_{kp}} \leq \varphi(\sigma); \quad (1-9)$$

式中 F_{kp} ——压杆毛截面积；

$\varphi = \varphi_1, \varphi_2$ ——軸心压杆計算稳定性时的折减系数；

其中 $\varphi_1 = \frac{\sigma_{kp}}{\sigma_T}$ ——考虑临界应力低于屈服极限所得的折减系数， σ_{kp} 随 λ 而变，而 σ_T 与鋼料种类有关，故可将建筑鋼的 φ_1 值当作 λ 的函数繪成 $\varphi_1 - \lambda$ 曲綫。图1-10为普通建筑鋼Ct.3的 $\varphi_1 - \lambda$ 曲綫；

$\varphi_2 = \frac{\sigma_{kp}^{BET}}{\sigma_{kp}^{BET}}$ ——考虑压杆可能存在的各种偶然偏心影响的折减系数；

其中 σ_{kp}^{BET} ——計入偶然偏心的临界应力；

σ_{kp}^B ——軸心受压的临界应力。

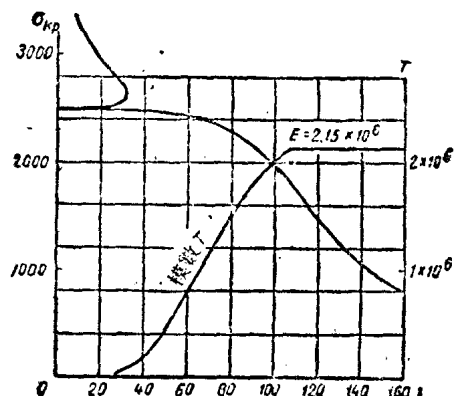


图 1-9 压杆稳定性的临界应力曲綫及纵向曲折模量曲綫

在实际结构中，偶然偏心往往是不可避免的，如材料的不均匀性、构件輕微的初曲率、构件的軸線与截面重心的不重合等(图1-11)，这些偶然偏心对不同长細比的軸心压杆的影响可用統計方法求得。茲将 $\varphi_1 - \lambda$ 曲线也繪在图1-10中。

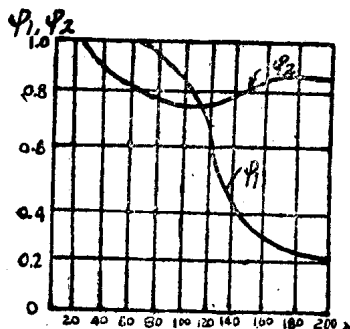
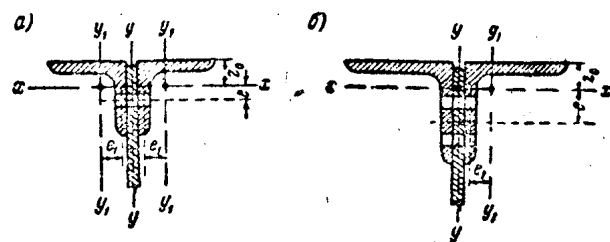
图 1-10 折減系数 φ_1 及 φ_2 

图 1-11 鋼釘接合对于截面重心的偏心

茲将我国鐵道部及建筑工程部規范中規定的 φ 与 λ 的函数值分別摘录于表 1-4 和 1-5 中，設計时可据 λ 值查 φ 值。

表 1-4 鐵道部“鐵路橋涵設計規程”規定的軸心压杆折減系数

| 構 造 | | 鋼 | | 高 級 | | 鋼 ($\pi K_{\text{鋼}}$) | |
|-----------|-----------|-----------|-----------|-----------|-----------|--------------------------|-----------|
| λ | φ | λ | φ | λ | φ | λ | φ |
| 0~40 | 0.900 | 120 | 0.442 | 0~40 | 0.900 | 120 | 0.310 |
| 50 | 0.860 | 130 | 0.396 | 50 | 0.830 | 130 | 0.280 |
| 60 | 0.794 | 140 | 0.358 | 60 | 0.810 | 140 | 0.250 |
| 70 | 0.734 | 150 | 0.320 | 70 | 0.730 | 150 | 0.225 |
| 80 | 0.670 | 160 | 0.285 | 80 | 0.595 | 160 | 0.200 |
| 90 | 0.610 | 170 | 0.260 | 90 | 0.493 | 170 | 0.180 |
| 100 | 0.550 | 180 | 0.235 | 100 | 0.410 | 180 | 0.165 |
| 110 | 0.495 | 190 | 0.215 | 110 | 0.350 | 190 | 0.150 |
| 120 | 0.442 | 200 | 0.200 | 120 | 0.310 | 200 | 0.140 |

表 1-5 軸心压杆的許可应力折減系数 φ (摘自建筑工程部“鋼結構設計規范”)

| λ | φ | λ | φ | λ | φ | λ | φ |
|-----------|-----------|-----------|-----------|-----------|-----------|-----------|-----------|
| 10 | 0.99 | 60 | 0.86 | 110 | 0.52 | 160 | 0.29 |
| 20 | 0.96 | 70 | 0.81 | 120 | 0.45 | 170 | 0.26 |
| 30 | 0.94 | 80 | 0.75 | 130 | 0.40 | 180 | 0.23 |
| 40 | 0.92 | 90 | 0.69 | 140 | 0.36 | 190 | 0.21 |
| 50 | 0.89 | 100 | 0.60 | 150 | 0.32 | 200 | 0.19 |

§1-5 荷重及其荷重的組合

作用在建筑結構上最主要的荷重有：

(1)呆荷重：結構的自重以及作用在結構上的一切經常不变的荷重称为呆荷重，也称为恒載。它的主要特点是它的大小不随時間而变化。呆荷重决定于結構的尺寸，而該

尺寸又是設計和計算的結果，所以在設計之后应对該荷重进行驗算。在初步設計时，結構的自重可以根据一般已成結構的經驗公式或单估的計算予以假設。

(2)活荷重：并不經常作用在結構上的荷重称为活荷重。它主要的特点是非經常有的，在某些時間可能存在；而在另外一些時間又可能不存在；而且存在时在結構上可能占有不同的位置，在結構工作的各个时期內其数值也可能不同。这是因为該荷重根据結構的使用条件及外在条件而定，因此活荷重是隨時間而改变的。

活荷重是結構物主要負担，它依結構的用途而定，如作用在閘門上的水壓力；作用在樓板上的人重及貨物、設備等的重量；作用在厂房結構上的吊車以及作用在橋梁上人與車輛等的重量均屬活荷重。

(3)大气荷重：包括风荷重及雪荷重。雪荷重根据地区以及結構物堆积条件而定。风荷重根据当地的风速求出风压力，并根据結構物的形状乘以空气动力系数而得风在結構物上的作用力。空气动力系数有些值是正的，但也有許多值是負的。空气动力系数是負值，表明了风对結構物产生了吸力作用，这是因为氣流經過結構物形成渦流，使背風面空气压力降低的結果。如图1-12。

(4)温度作用：在超靜定結構中才考虑温度作用，它按溫度的最大差額來計算。

(5)地震作用：地震作用在地震的區域內才加以考慮，其作用力的大小根据該区域地震等級而定。

(6)安装荷重：建筑物在安装时所承受的荷重称为安装荷重。这些結構物的构件尚未完全固定，或結構在安装时在結構上正运行着安装吊車，这类荷重待安装完后建筑物即不再承受。

在規範中所規定各種荷重的大小是指結構物在正常使用過程中的最大荷重，这种規定的荷重數值稱為標準荷重。

各種荷重並不是個別作用在結構上，而是彼此組合在一起成一定的形式作用在結構上。荷重的組合可分為下列三種：

(1)主要組合：主要組合的荷重稱為主要荷重，是結構物在工作時經常地而有規則地作用於結構上的各種主要荷重的組合。抵抗這些荷重，是結構物的承重任務。最簡單的組合是呆荷重和活荷重的組合。由於在我國北方每年冬季都要降雪，所以主要荷載還包括雪載。

(2)附加組合：附加組合是指主要荷重和出現很少的附加荷重的組合。承受該荷重並不是結構物的承重目的。最普通的附加荷重是風荷重，有時安裝荷重和溫度作用也計算在附加荷重之內。

(3)特殊組合：特殊組合是指主要荷重與附加荷重以及極少出現的特殊荷重的組合。特殊荷重的作用常帶有事故性質。典型的特殊荷重例如地震區的地震荷重。

§1-6 鋼結構的計算方法

一、結構物的极限状态及极限条件

結構物必須停止使用的狀態稱為极限状态。在設計中考慮下列三種极限状态。

第一種极限状态須按照承載能力(强度及稳定性)來決定。當達到這種极限状态時，

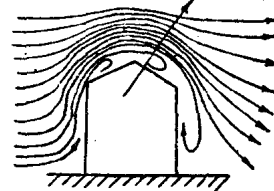


图 1-12 风的吸力作用

结构物丧失了抵抗外力作用的能力，使结构产生永久变形，不能继续使用。

第二种极限状态须按照由于荷载(静载或动载)所发生的过大变形来决定。当达到此种极限状态时，结构物仍保持其强度和稳定性，但所发生的过大变形和振动使结构不能再继续使用。

第三种极限状态须按着裂縫的扩張及局部的损坏来决定，在鋼筋混凝土结构中必须加以考虑。

每一种极限状态都表示了不同的极限条件，为了能使结构安全的使用，作用在结构物上的外力应小于能保証结构继续使用的极限值。

計算鋼结构时的极限条件如下：

第一种极限状态的极限条件：

$$N \leq \Phi; \quad (1-10)$$

式中 Φ ——該构件材料所能承受的极限內力；

N ——所計算杆件的內力。在設計时，为使结构保証在整个存在时期使用的可能性， N 应是建筑物使用期间的最大可能內力，是該时期最大可能荷重的函数，

$$N = \sum P_i^H \alpha_i n_i; \quad (1-11)$$

式中 P_i^H ——标准荷重；

n_i ——荷重 P_i^H 的超荷系数，即在结构使用时最大可能荷重和标准荷重之比；

α_i ——該杆件对荷重 P_i^H 的影响值，也就是当 $P_i = 1$ 时的內力。

第二种极限状态的极限条件：

$$\Delta \leq \Delta_{np}; \quad (1-12)$$

式中 Δ_{np} ——结构必須停止使用时的极限变形或变位

Δ ——结构由于外荷重作用所发生的变形或变位，可根据下式求得：

$$\Delta = \sum P_i^H \Delta_{1i}; \quad (1-13)$$

式中 Δ_{1i} ——由于单位荷重的作用，结构所产生的变形或变位。

第三种极限状态的极限条件：

$$e \leq e_{np} \quad (1-14)$$

式中 e ——相当的裂縫开度。

裂縫的出現是在制造和安装的过程中由于施工上的缺点而造成的缺陷，如焊接处发生的裂縫即属于此种缺陷，它和作用力无关。因此，在設計鋼結構时，不必考慮第三种极限状态。

二、按許可应力計算方法

为保証结构继续使用的可能性，按第一种极限状态計算时的基本要求：

$$N \leq \Phi;$$

式中 N ——杆件中的計算內力，在組合荷載作用下杆件中总的內力。

Φ ——杆件停止使用时的极限抗力，它决定杆件的承载能力，該值依构件的尺寸、材料的抗力和构件的工作条件而定，可用下式表示：

$$\Phi = F \sigma m; \quad (1-15)$$

式中 F ——构件几何因素(截面积、抵抗矩)。

σ ——材料的极限应力。